

CONTRIBUTION A LA MODÉLISATION NUMÉRIQUE DU COMPORTEMENT AU FEU DES VOILES EN BÉTON ARMÉ*

Mohsen ROSEFID**, Marie-Hélène BONHOMME, Pierre PIMIENTA

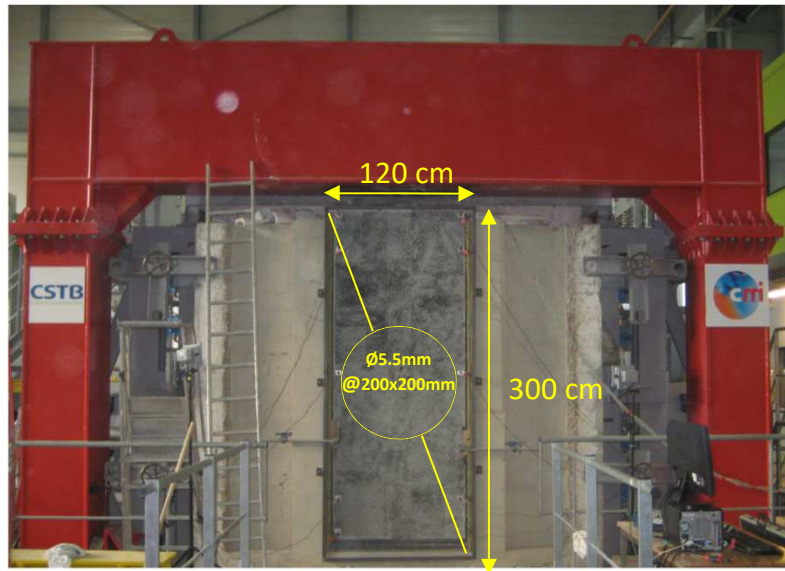
* Les résultats présentés dans cette présentation sont issus de la publication suivante :

Mohsen Roosefid, Marie Hélène Bonhomme, Pierre Pimienta, « *Modeling the structural behavior of reinforced concrete walls under ISO fire exposure* », Proceedings of the 11th International Conference on Structures in Fire, 2020, pp. 262-270.

** mohsen.roosefid@irsn.fr

Benchmark Vulcain - CSTB

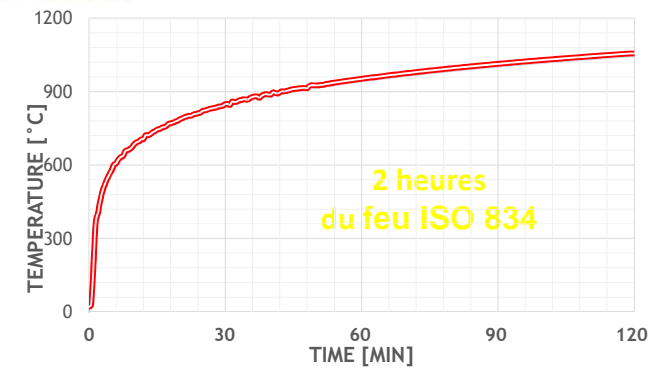
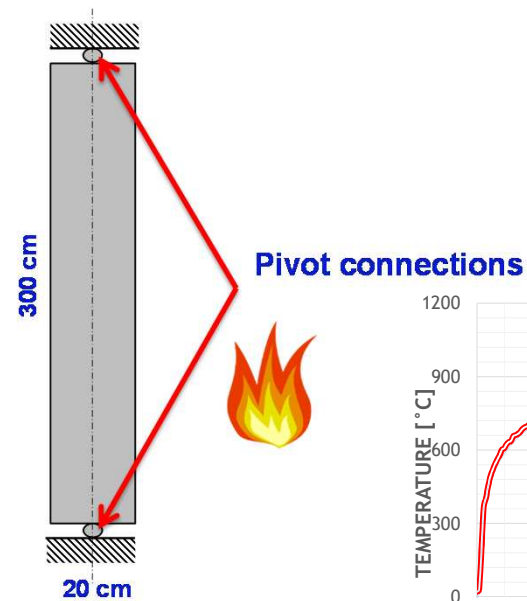
Plateforme d'essais Vulcain (CSTB)



Voiles de dimensions 300 × 120 × 20 cm (ST10 @ 5 cm)

3 chargements mécaniques ≠

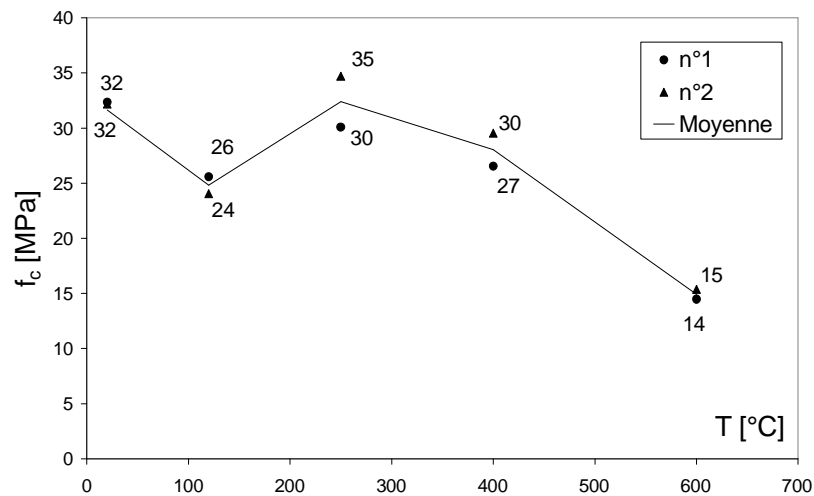
Essai	Charge (kN)
Voile 1	100
Voile 2	0
Voile 3	1100



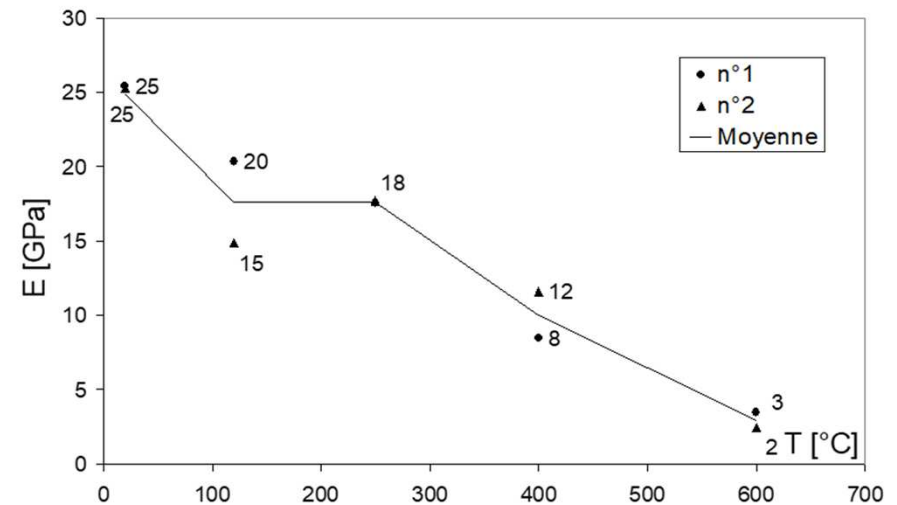
Caractéristiques thermomécaniques du béton utilisé (1)



Propriétés mécaniques du béton (fournies par le CSTB), complétées pour celles au-delà de 600°C en calquant la tendance des données de la NF EN 1992-1-2



Résistance en compression

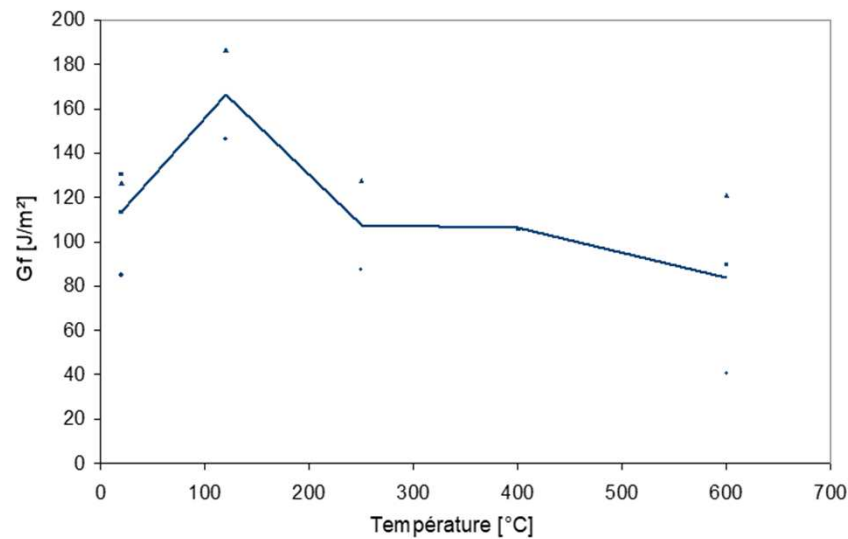


Module d'élasticité

Caractéristiques thermomécaniques du béton utilisé (2)



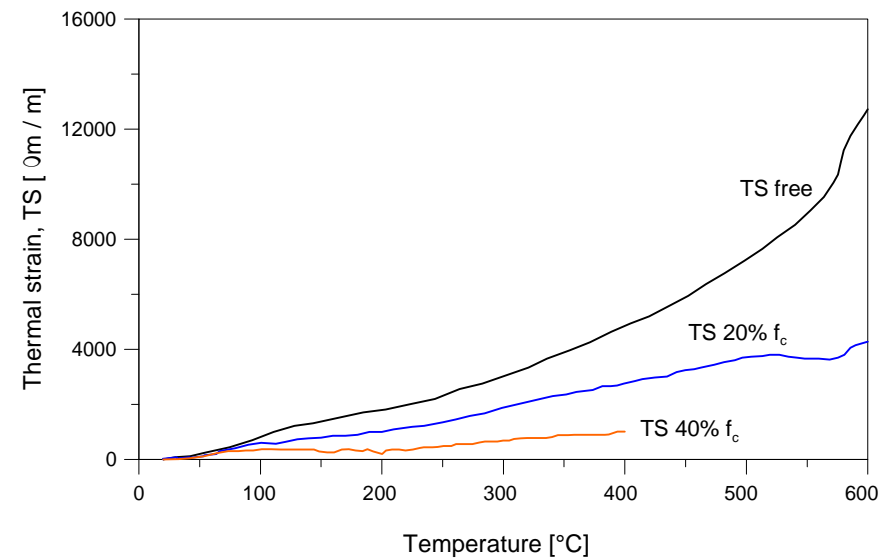
Propriétés mécaniques du béton (CSTB)



Energie de fissuration (essais de flexion 3 points)

Propriétés thermo-physiques du béton

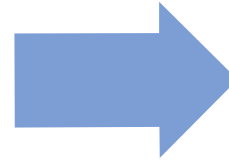
- Caractéristiques thermiques selon NF EN 1992-1-2



Déformation thermique libre (CSTB)

Plan de la présentation

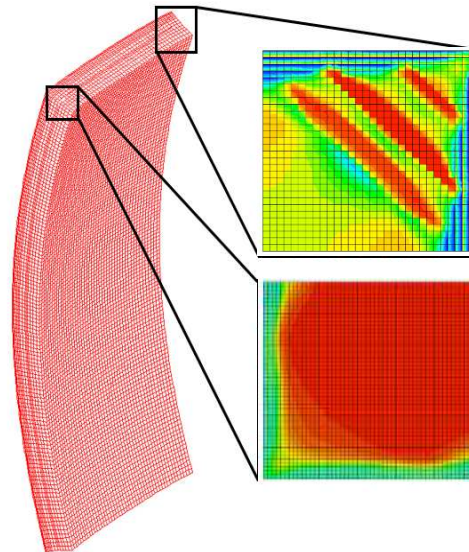
Modélisation
thermomécanique
du béton utilisé



Méthodes de
régularisation



Simulation numérique des
voiles du benchmark Vulcain
sous feu ISO



Modèle d'endommagement de Mazars

$$\sigma = (1 - D) \cdot \tilde{\sigma} = E(T) \cdot (1 - D) \cdot \varepsilon^e \text{ où } \varepsilon^e = \varepsilon - \varepsilon^{th}$$

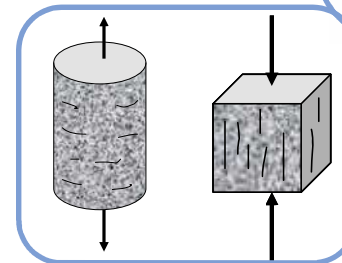
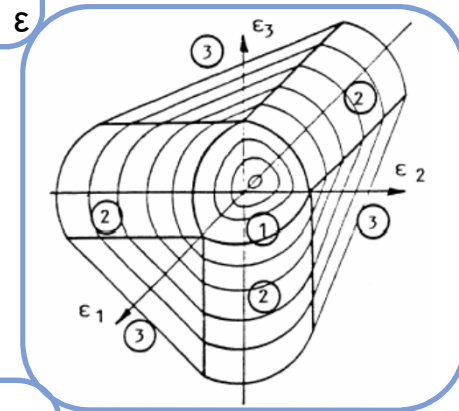
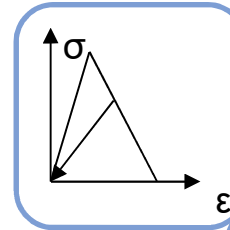
$$\tilde{\varepsilon} = \sqrt{\langle \varepsilon_1 \rangle_+^2 + \langle \varepsilon_2 \rangle_+^2 + \langle \varepsilon_3 \rangle_+^2} \quad \begin{cases} \langle \varepsilon_i \rangle_+ = \varepsilon_i & \varepsilon_i > 0 \\ \langle \varepsilon_i \rangle_+ = 0 & \varepsilon_i \leq 0 \end{cases}$$

$$f(\varepsilon, D) = \tilde{\varepsilon} - K(D) = 0$$

$$K(D) = \varepsilon_{D0} \text{ if } D = 0 \text{ où } \varepsilon_{D0} \text{ est le seuil d'endommagement } (\varepsilon_{D0} = \frac{f_t}{E})$$

$$D_t = 1 - \frac{\varepsilon_{D0}(1-A_t)}{\tilde{\varepsilon}} - \frac{A_t}{\exp[B_t(\tilde{\varepsilon} - \varepsilon_{D0})]}$$

$$D_c = 1 - \frac{\varepsilon_{D0}(1-A_c)}{\tilde{\varepsilon}} - \frac{A_c}{\exp[B_c(\tilde{\varepsilon} - \varepsilon_{D0})]}$$



Identification des paramètres du modèle

Compression

- $A_c(T)$ & $B_c(T)$
 - CAST3M (*identi.procedur*)

Traction

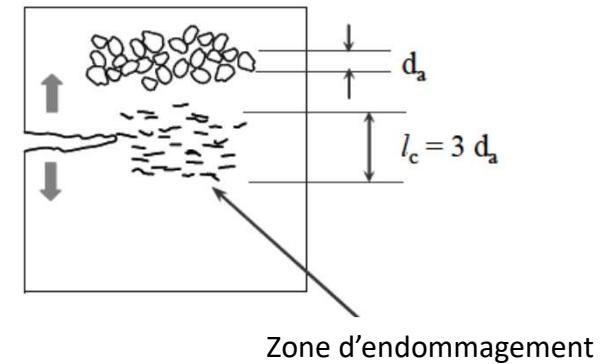
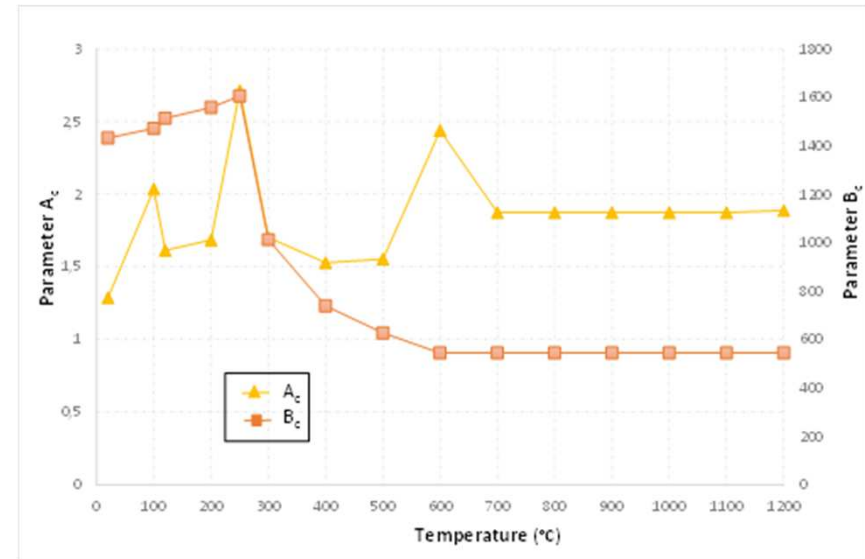
- Approche de Hillerborg
 - $A_t = -10$ & $B_t(T) = \frac{h f_t(T)}{G_f(T)}$

h : taille des Éléments Finis

- Formulation non locale

$$\text{➤ } A_t = 0,8 \text{ \& } B_t(T) = \frac{1}{\varepsilon_{D0}(T)}$$

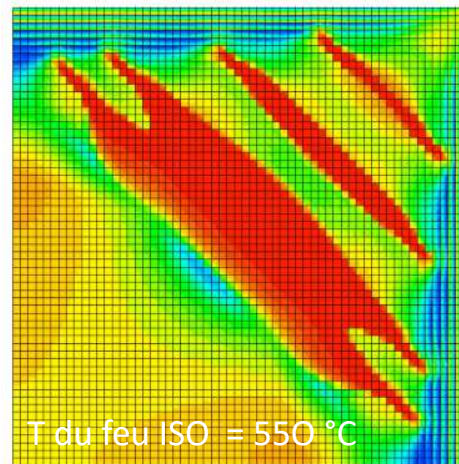
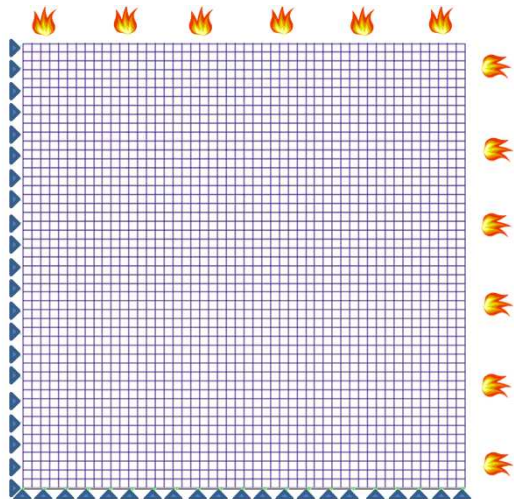
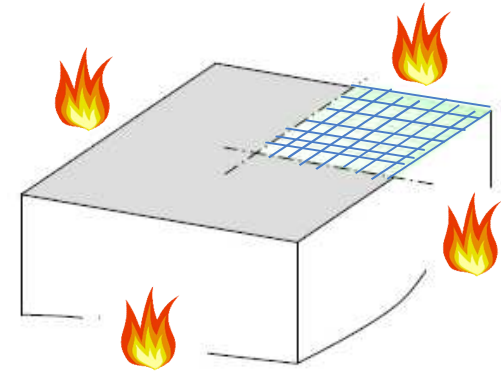
$$\langle \tilde{\varepsilon} \rangle = \frac{1}{(l_c \sqrt{2\pi})^3} \int \tilde{\varepsilon} \psi dx \leftrightarrow \langle \tilde{\varepsilon} \rangle - \frac{l_c^2}{2} \nabla^2 \langle \tilde{\varepsilon} \rangle = \tilde{\varepsilon}$$



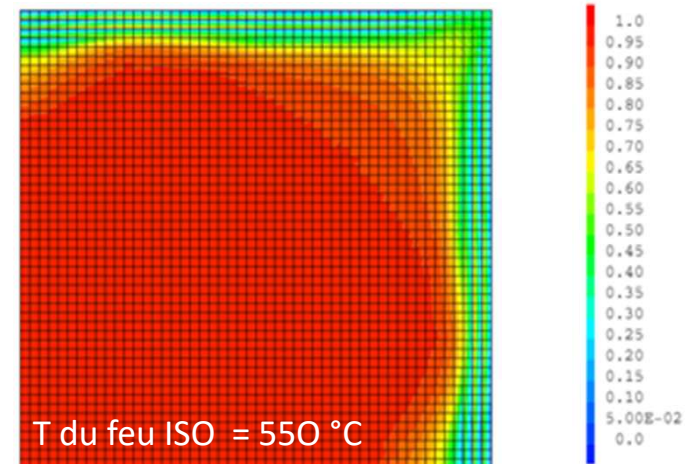
Evaluation des paramètres identifiés

Application des méthodes de régularisation

$$h = 25 \text{ W/m}^2\text{K}$$
$$\varepsilon = 0,7$$



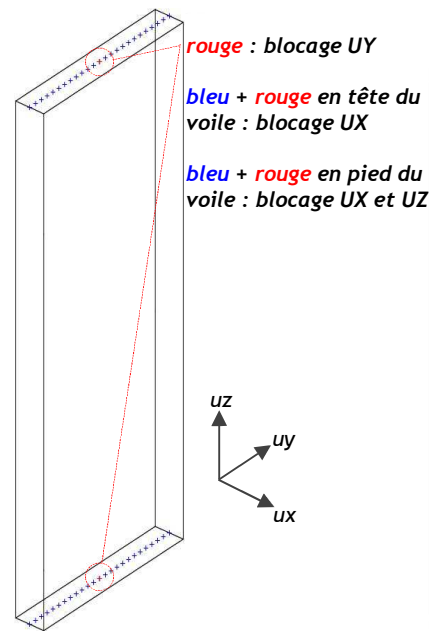
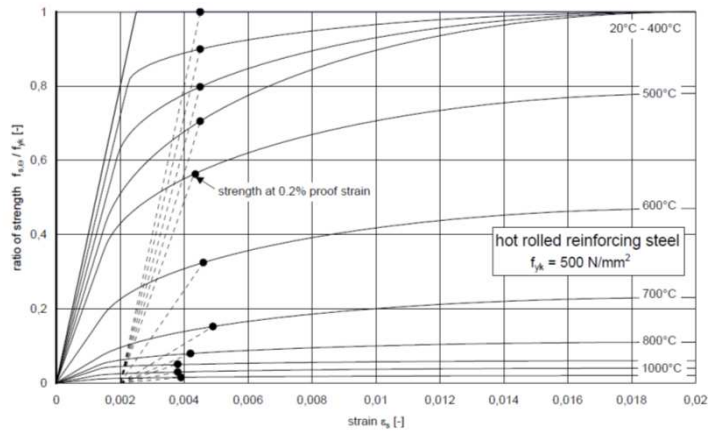
Approche de Hillerborg : $At = -10$



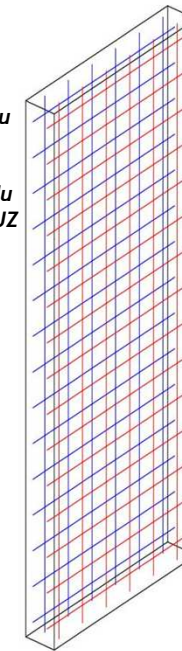
Formulation non-locale : $At = 0,8$

Simulations numériques des voiles Vulcain

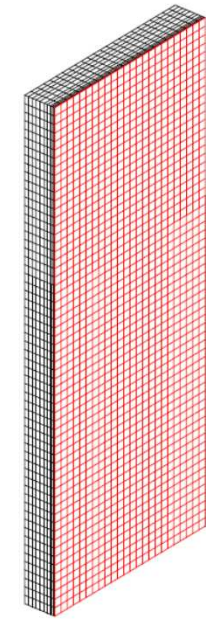
- Béton : Modèle de Mazars
- Armatures : Modèle plastique parfait (caractéristiques selon NF EN 1992-1-2)
- Liaison acier-béton parfaite



Conditions aux limites



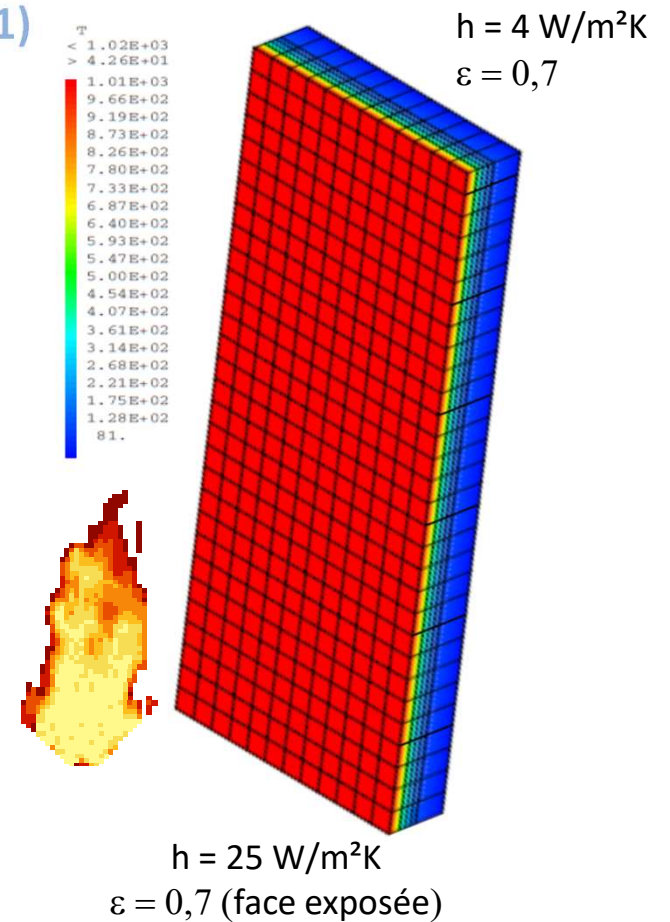
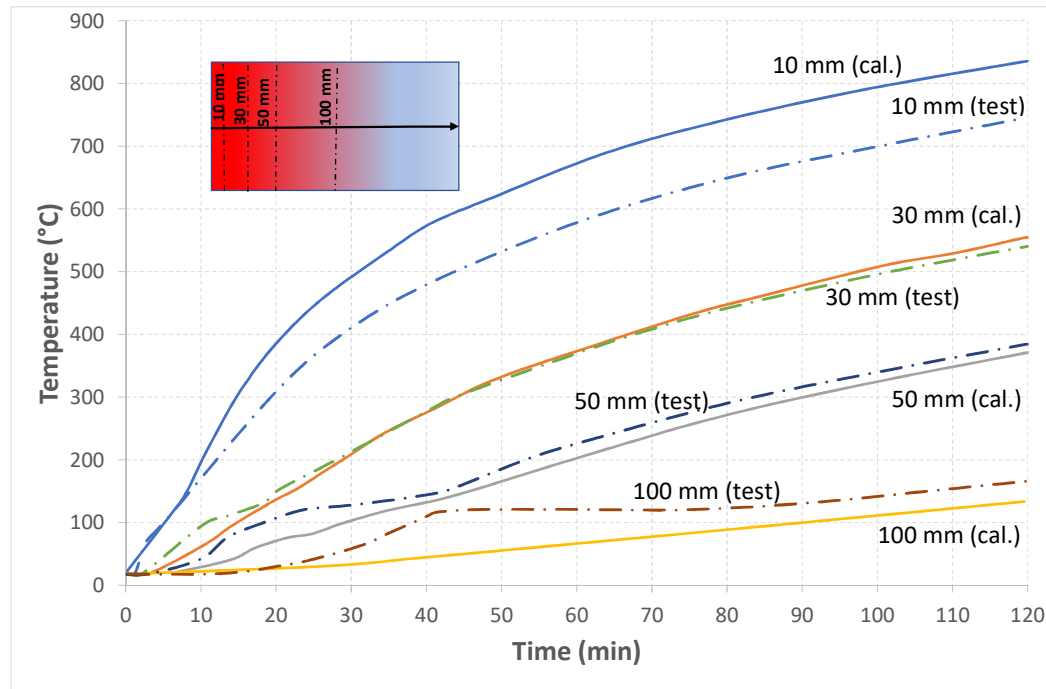
voile et maillage du treillis ST10



Éléments finis volumiques

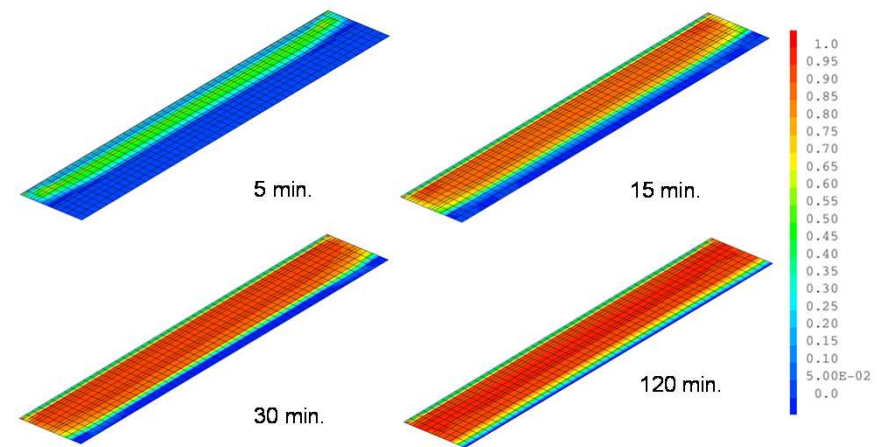
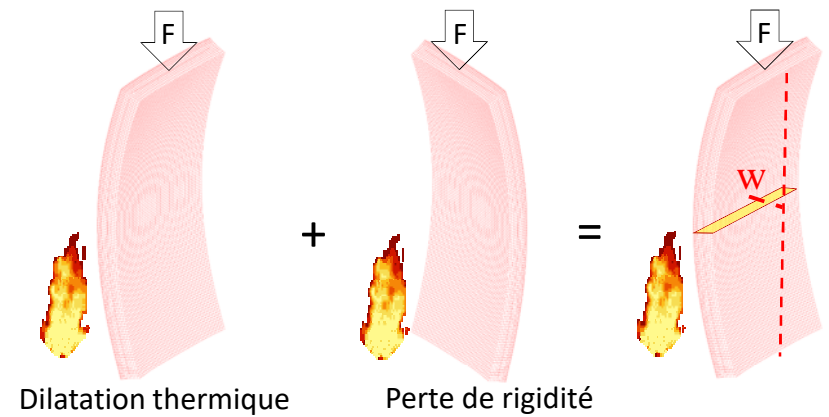
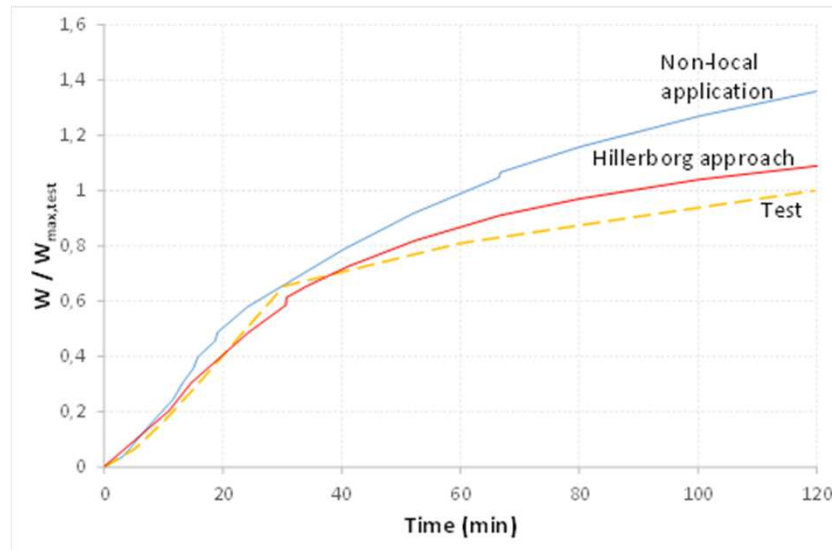
Résultats des simulations numériques des voiles Vulcain (1)

Calcul de transfert thermique



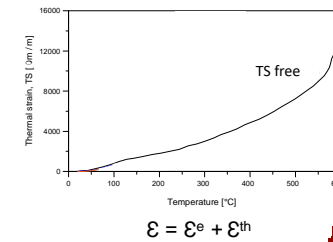
Résultats des simulations numériques des voiles Vulcain (2)

Voile 1 : F = 100 kN

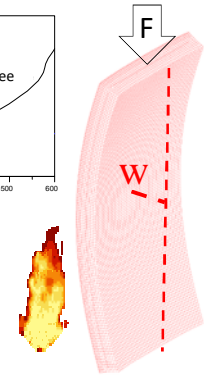


Distributions d'endommagement obtenues à mi hauteur du voile 1 en fonction du temps ($A_t = -10$)

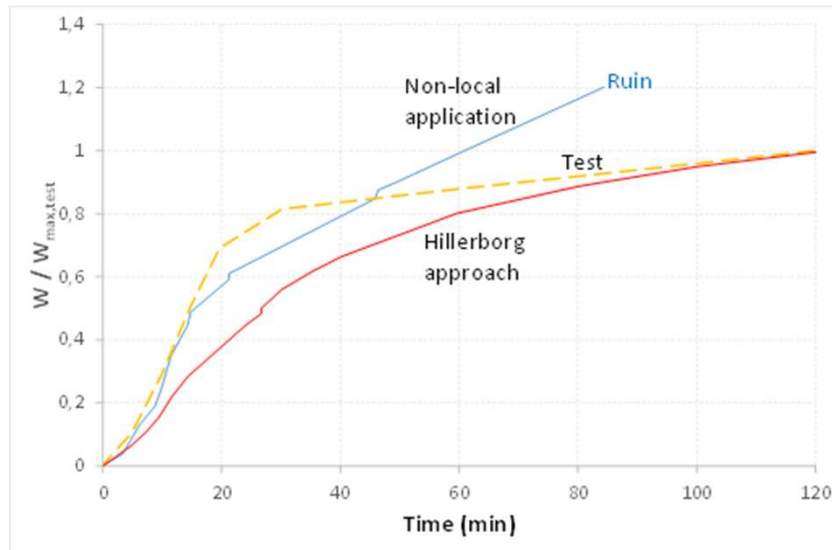
Résultats des simulations numériques des voiles Vulcain (3)



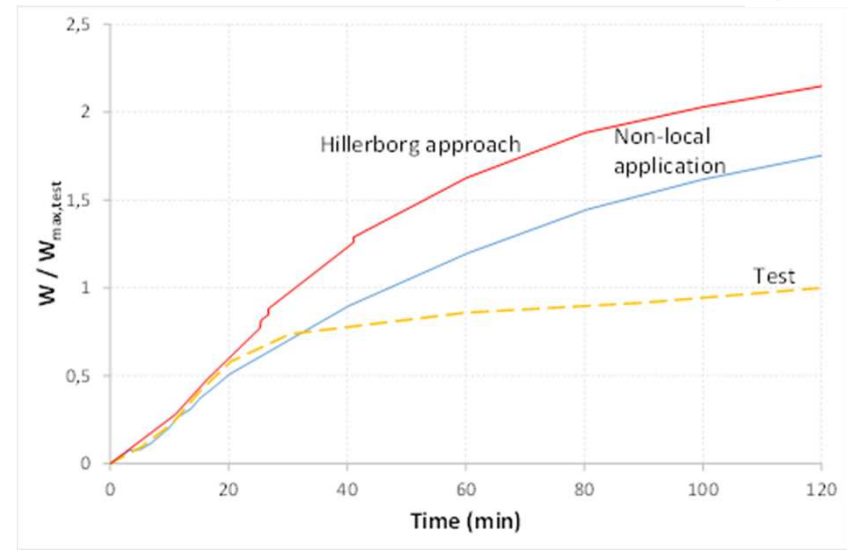
$$\epsilon = \epsilon^e + \epsilon^{th}$$



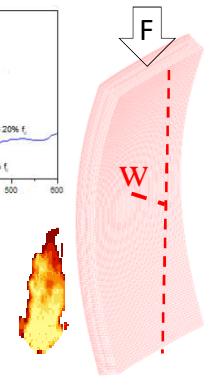
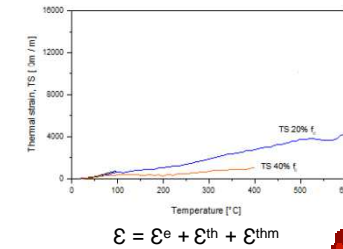
Voile 2 : F = 0 kN



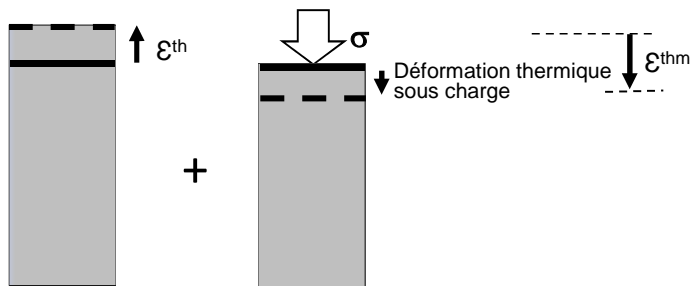
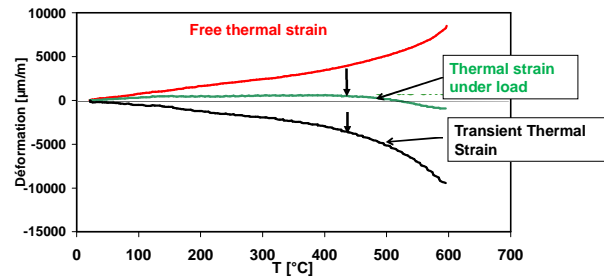
Voile 3 : F = 1100 kN



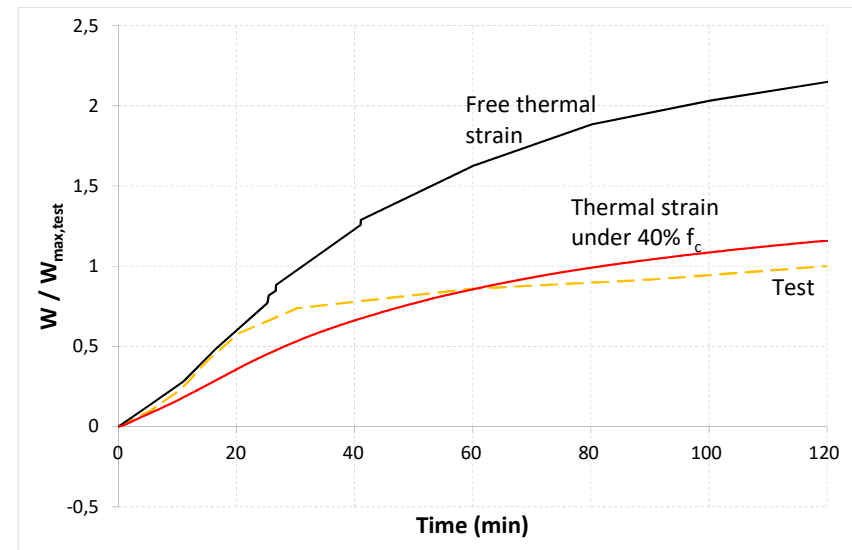
Résultats des simulations numériques des voiles Vulcain (4)



Déformation thermique transitoire



Voile 3 : F = 1100 kN (Approche d'Hillerborg)



Conclusions

- Modélisation du comportement thermomécanique non linéaire des bétons à haute température
- Modèle endommageable pour les bétons pour prendre en compte la fissuration
- Méthodes de régularisation énergétique G_f (Hillerborg) et formulation non-locale (équation Helmholtz)
- Simulation numérique des voiles du benchmark de Vulcain
- Modèle de Mazars est une bonne base à améliorer pour simuler de manière plus satisfaisante le comportement au feu des structures en béton armé
- Développer une approche numérique pour prendre en compte l'interaction thermomécanique nommée « *déformation thermique transitoire* »